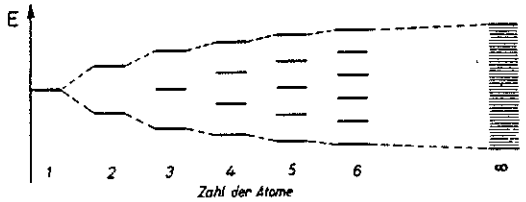

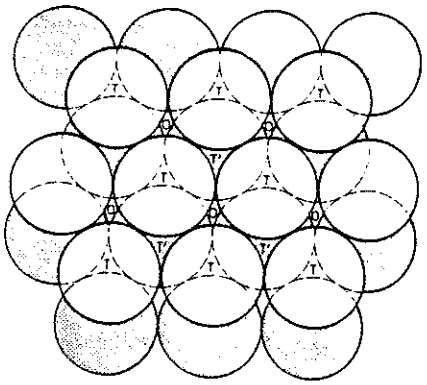

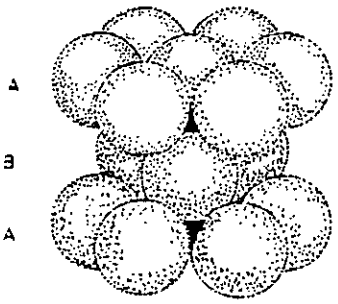

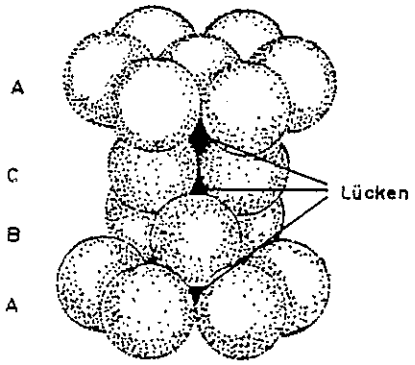

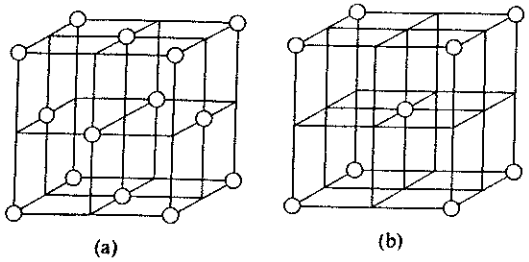

Fig. 55 Ladungsschwerpunkte der kubisch-flächenzentrierten (= kubisch-dichtesten) Kugelpackung (a) und der kubisch-raumzentrierten Kugelpackung (b).

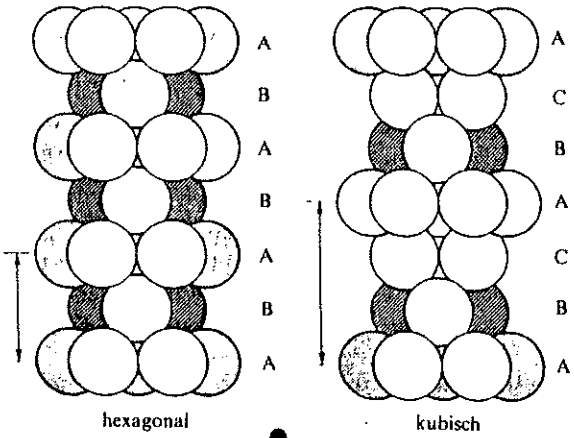

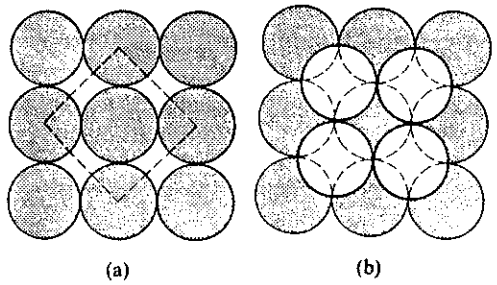

Fig. 56 Quadratische Kugelpackungen: (a) Eine Kugelschicht (gestrichelt: Basisfläche einer kubisch-flächenzentrierten Elementarzelle); (b) zwei übereinander gelagerte Kugelschichten.

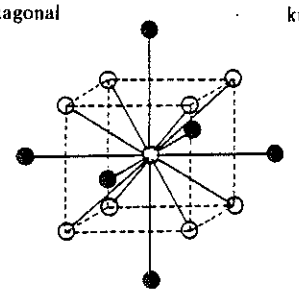

Abb. 64. Kubisch-raumzentriertes Gitter. Es sind auch die 6 übernächsten Gitterpunkte gezeigt

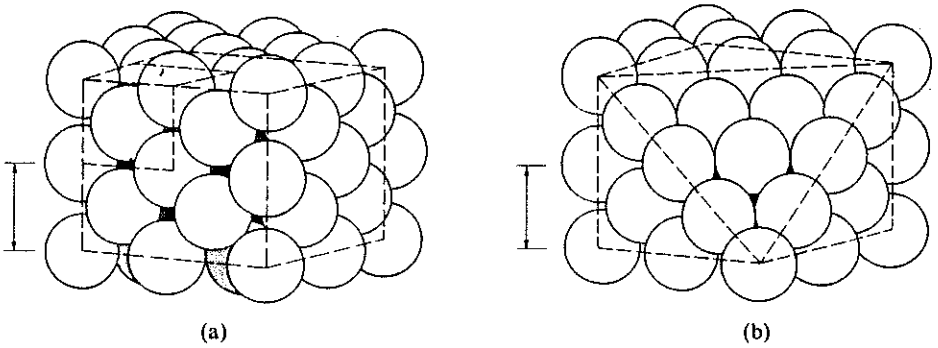

Fig. 57 Kubisch-flächenzentrierte (= kubisch-dichteste) Kugelpackung: (a) Kubischer Raumausschnitt, kubisch-flächenzentrierte Elementarzellen links oben angedeutet; (b) kubischer Raumausschnitt mit abgehobener Würfelecke.

Tab. 18 Strukturen einiger Metalle unter Normalbedingungen (1.013 bar, 298 K; die kursiv gedruckten Metalle bilden keine der wiedergegebenen Strukturen)

Li	Be													
Na	Mg											Al		
K	Ca	Sc	Ti	V	Cr	*Mn*	Fe	Co	Ni	Cu	Zn	*Ga*	*Ge*	
Rb	Sr	Y	Zr	Nb	Mo	Tc	Ru	Rh	Pd	Ag	Cd	*In*	*Sn*	
Cs	Ba	La	Hf	Ta	W	Re	Os	Ir	Pt	Au	*Hg*	Tl	Pb	

kubisch-dichteste Packung; hexagonal-dichteste Packung; kubisch-raumzentrierte Packung

Zahl der Leitungselektronen	Struktur	Beispiele
21 : 14 (3 : 2)	kubisch-raumzentrierte Struktur	$Cu^{I}Zn^{II}$, $Ag^{I}Cd^{II}$, $Ag^{I}_{3}Al^{III}$, $Cu^{I}_{5}Si^{IV}$, $Cu^{I}_{5}Sn^{IV}$, $Ni^{0}Al^{III}$
21 : 13	komplizierte kubische Struktur	$Cu^{I}_{5}Zn^{II}_{8}$, $Cu^{I}_{9}Al^{III}_{4}$, $Fe^{0}_{5}Zn^{II}_{21}$, $Co^{0}_{5}Zn^{II}_{21}$, $Pt^{0}_{5}Zn^{II}_{21}$, $Cu^{I}_{31}Sn^{IV}_{8}$
21 : 12 (7 : 4)	hexagonal-dichteste Kugelpackung	$Cu^{I}Zn^{II}_{3}$, $Cu^{I}_{3}Sn^{IV}$, $Au^{I}Zn^{II}_{3}$, $Ag^{I}_{5}Al^{III}_{3}$, $Fe^{0}Zn^{II}_{7}$, $Cu^{I}_{3}Si^{IV}$